

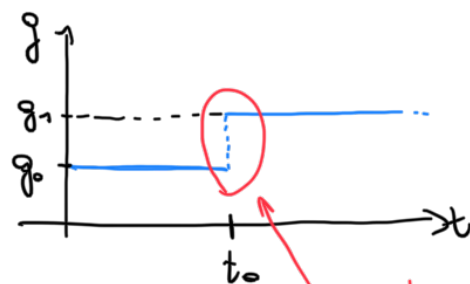
Dinamica di sistemi quantistici a molti corpi (su reticolo)

(quantum simulator - Feynman 1982)

→ QUANTUM QUENCH

modifica brusca di uno dei parametri dell'Hamiltoniana (e.g. campo magnetico)

$$g(t) = \begin{cases} g_0 & t < t_0 \\ g_1 & t > t_0 \end{cases}$$



Immagino di essere a temperatura $T=0$
per $t < t_0 \rightarrow$ sono nello stato fondamentale
 $|\psi(t < t_0)\rangle = |\chi_{gs.}(g_0)\rangle$

per $t > t_0 \rightarrow$ dinamica NON banale: $|\psi(t > t_0)\rangle = e^{-\frac{i}{\hbar} \hat{H}(g_1)(t-t_0)} |\chi_{gs.}(g_0)\rangle$

- Universalità nella DINAMICA in tempo reale, vicino ad una transizione di fase:

la variabile temporale t può essere riscritta:

$$\rightarrow \mathcal{T} = t \cdot N^{-z}$$

$\Delta E \sim N^{-z}$ gap tra lo stato
e stato fondamentale

Ⓢ: esponente dinamico della transizione
(Ising 2D classico $z=1$
 \leftrightarrow 1D quantistico)

$$\hat{H} = - \sum_j \hat{\sigma}_j^z \hat{\sigma}_{j+1}^z - g \sum_j \hat{\sigma}_j^x - h \sum_j \hat{\sigma}_j^z \quad ; \quad m^z = \langle \hat{\sigma}_j^z \rangle$$

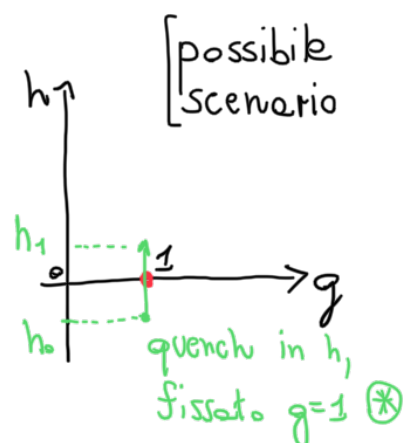
\rightarrow all'equilibrio: $m^z(g, h, N) \sim N^{-\beta\nu} \cdot \mathcal{M}[(g-g_c)N^{\gamma_g}, (h-h_c)N^{\gamma_h}]$

per Ising:
1D q. $g \rightarrow$ campo trasverso
 $h \rightarrow$ campo longitudinale

punto critico $(g=1; h=0)$

γ_g, γ_h : dimensioni di g, h secondo la teoria RG

(Ising 1D q: $\beta = 1/8; \nu = 1; \gamma_g = 1; \gamma_h = 15/8$)



\rightarrow fuori equilibrio: $m^z(g, h, N, t) \sim N^{-\beta\nu} \mathcal{M}[(g-g_c)N^{\gamma_g}, (h-h_c)N^{\gamma_h}, t N^{-z}]$
(dopo un quench)

$m^2(h_0, h_1, N; t) \sim N^{-1/2} \mathcal{M}[(h_0 - h_c) N^{1/2}, (h_1 - h_c) N^{1/2}, t N^{-1/2}]$

↑ campo h prima del quench ↑ campo h dopo il quench

[Rossini, Vicari, Phys. Rep. 936, 1 (2021)
 Pelissetto, Rossini, Vicari, Phys. Rev. E 97, 052148 (2018)]

- Tecniche numeriche per studiare la dinamica in tempo reale: $|\psi(t)\rangle = e^{-i\hat{H}t} |\psi(0)\rangle$ ($\hbar=1$)

1) Esponentiale \hat{H} : scrivo esplicitamente $\hat{U} = e^{-i\hat{H}t}$

→ diagonalizzo \hat{H} esattamente (full spectrum) - molto inefficiente

→ espando l'esponentiale in serie di potenze:

$$\hat{U} = \sum_{n=0}^{+\infty} \frac{(-i\hat{H}t)^n}{n!}$$

- richiederebbe solo l'applicazione $|\psi\rangle \rightarrow \hat{H}|\psi\rangle$ (n volte)

2) Metodo di Runge-Kutta: (integrazione di eq. differenziali, numerico)

$i \frac{d|\psi\rangle}{dt} = \hat{H}(t)|\psi(t)\rangle$:

$$\begin{cases} y'(t) = f(t, y(t)) \\ y(t_0) = y_0 \end{cases}$$
 dove $y(t) \equiv |\psi(t)\rangle$
 $f(t, y(t)) = -i\hat{H}(t)y(t)$

discretizzo il tempo $t \in [t_0, t_f]$

$t_j = t_0 + jh$ con $h = \frac{t_f - t_0}{n}$ n : n° di step temporali

Runge-Kutta IV ordine:

$y_{n+1} \equiv y(t_{n+1}) = y_n + \frac{h}{\sigma} (k_1 + 2k_2 + 2k_3 + k_4)$
 $t_{n+1} = t_n + h$

$$\begin{cases} k_1 = f(t_n, y_n) \\ k_2 = f(t_n + \frac{h}{2}, y_n + k_1 \frac{h}{2}) \\ k_3 = f(t_n + \frac{h}{2}, y_n + k_2 \frac{h}{2}) \\ k_4 = f(t_n + h, y_n + k_3 h) \end{cases}$$

per noi serve saper fare $|\psi\rangle \rightarrow -i\hat{H}|\psi\rangle$
 (moltiplicazione di \hat{H} per uno stato $|\psi\rangle$ arbitrario)

3) Decomposizione di Suzuki-Trotter:

$\hat{H} = \hat{H}_A + \hat{H}_B$ dove è semplice applicare $e^{-i\hat{H}_A t}$ (o $e^{-i\hat{H}_B t}$ separatamente) su uno stato generico $|\psi\rangle$
 MA non è semplice applicare $e^{-i(\hat{H}_A + \hat{H}_B)t}$

In generale $[H_A, H_B] \neq 0 \Rightarrow e^{-i(H_A+H_B)t} \neq e^{-iH_A t} e^{-iH_B t}$

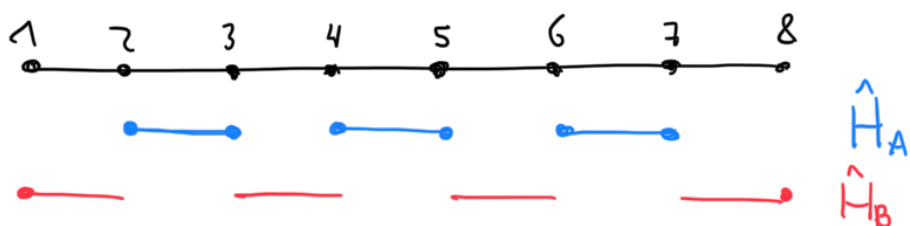
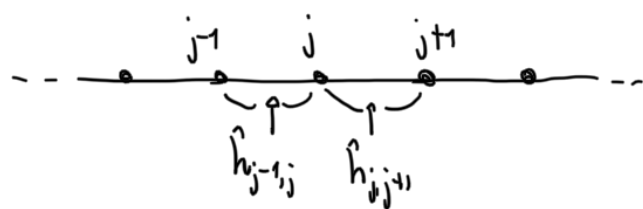
si può essere più precisi usando lo sviluppo di

Baker-Campbell-Hausdorff (BCH)

$$e^{\hat{A}} e^{\hat{B}} = e^{\hat{Z}} \quad \text{dove} \quad \hat{Z} = \hat{A} + \hat{B} + \frac{1}{2} [\hat{A}, \hat{B}] + \frac{1}{12} \{ [\hat{A}, [\hat{A}, \hat{B}]] + [\hat{B}, [\hat{B}, \hat{A}]] \} + \dots$$

Nel nostro caso:

$$\hat{H} = \sum_j \hat{h}_{j,j+1}$$



esempio di decomposizione:

$$\hat{H}_A = \sum_{j \text{ pari}} \hat{h}_{j,j+1}$$

$$\hat{H}_B = \sum_{j \text{ dispari}} \hat{h}_{j,j+1}$$

$[\hat{H}_A, \hat{H}_B] \neq 0 \Rightarrow$ difficile fare $e^{-i(\hat{H}_A+\hat{H}_B)t}$

$$\text{MA: } e^{-i\hat{H}_A t} = \prod_{j \text{ pari}} e^{-i\hat{h}_{j,j+1} t}$$

$$e^{-i\hat{H}_B t} = \prod_{j \text{ dispari}} e^{-i\hat{h}_{j,j+1} t}$$

facili da fare separatamente

$$\hat{U}(t) = e^{-i\hat{H}t} = \left(\underbrace{e^{-i\hat{H} dt}}_{\text{BCH}} \right)^{t/dt} \quad \text{con } dt \text{ piccolo}$$

$$\text{BCH: } e^{\tau(\hat{A}+\hat{B})} = \prod_{i=1}^k e^{c_i \tau \hat{A}} e^{d_i \tau \hat{B}} + o(\tau^n)$$

k indice che dipende da n (n : ordine dello sviluppo)

$\{c_i\}, \{d_i\}$ sono numeri in \mathbb{R}

$$(n=1) \Rightarrow k=1 ; c_1=d_1=1 \rightarrow e^{\tau(\hat{A}+\hat{B})} = e^{\tau \hat{A}} e^{\tau \hat{B}} + o(\tau)$$

$$(n=2) \Rightarrow k=2 ; c_1=c_2=1/2 ; d_1=1 ; d_2=0$$

$$\rightarrow e^{\tau(\hat{A}+\hat{B})} = e^{\frac{1}{2}\tau \hat{A}} e^{\tau \hat{B}} e^{\frac{1}{2}\tau \hat{A}} + o(\tau^2)$$

$$(n=4) \Rightarrow k=4 ; c_1=c_4 = \left[2(2-2^{1/3}) \right]^{-1}, \quad c_2=c_3 = (1-2^{1/3})c_1 \\ d_1=d_3 = 2c_1, \quad d_2 = -2^{4/3}c_1, \quad d_4=0$$

esempio (1D): $\hat{U} = e^{-i\hat{H}t} \approx \left[e^{-\frac{1}{2}i dt \hat{H}_A} e^{-i dt \hat{H}_B} e^{-\frac{1}{2}i dt \hat{H}_A} \right]^{t/dt}$

$$= \left[\left(\prod_{j \text{ pari}} e^{-\frac{i}{2} dt \hat{h}_{j,j+1}} \right) \left(\prod_{j \text{ dispari}} e^{-i dt \hat{h}_{j,j+1}} \right) \left(\prod_{j \text{ pari}} e^{-\frac{i}{2} dt \hat{h}_{j,j+1}} \right) \right]^{t/dt}$$

$\hat{h}_{j,j+1}$ per Ising è una matrice $4 \times 4 \rightarrow e^{\alpha \hat{h}_{j,j+1}}$ si calcola facilmente, ...

[H. Yeshida, Phys. Lett. A 150, 262 (1990)]

Simulazioni a temperatura finite

3/11/2021

- Stati termici: $\rho = \frac{1}{Z} e^{-\beta \hat{H}}$ $\beta = \frac{1}{k_B T}$ ensemble canonico (N fissato)
- operatore densità (stato misto, non puro)

$Z = \text{Tr}[e^{-\beta \hat{H}}]$ funzione di partizione

Su spazi di Hilbert finito-dimensionali ($\dim \mathcal{H} = 2^N$)

ρ è una matrice hermitiana di dimensioni $2^N \times 2^N = 2^{2N}$ elementi

Purificazione di uno stato misto $\rho = \sum_i p_i |\psi_i\rangle\langle\psi_i|$

↳ "allargare" lo spazio di Hilbert \mathcal{H} del sistema S introducendo uno spazio ausiliario A

$\rho \rightarrow$ stato puro su \mathcal{H}_{S+A}

$$\rho \rightarrow \sum_i p_i |\psi_i\rangle_S \otimes |\psi_i\rangle_A$$

$$\dim \mathcal{H}_A = \dim \mathcal{H}_S \Rightarrow \dim \mathcal{H}_{S+A} = (\dim \mathcal{H}_S)^2$$

stato termico $\rho_\beta = \frac{1}{Z} e^{-\frac{\beta}{2} \hat{H}} \cdot \mathbb{1} \cdot e^{-\frac{\beta}{2} \hat{H}}$

- Immaginiamo di poter scrivere

$\rho_{\beta=0} = \text{Tr}_A |\psi_0\rangle\langle\psi_0|$

$|\psi_0\rangle \in \mathcal{H}_{S+A}$

$$\rho_{\beta=0} = \begin{pmatrix} \frac{1}{2^N} & & & \\ & \frac{1}{2^N} & & \\ & & \ddots & \\ & & & \frac{1}{2^N} \end{pmatrix}$$

↑
a temperatura infinita

$$\Rightarrow \rho_\beta = \frac{1}{Z(\beta)} e^{-\frac{\beta}{2} \hat{H}} \left\{ \frac{1}{Z(\beta=0)} \rho_0 \right\} e^{-\frac{\beta}{2} \hat{H}} =$$

$$\left[\hat{U}_\beta \equiv e^{-\beta \hat{H}} \right]$$

$$= \frac{Z(\beta\infty)}{Z(\beta)} \cdot e^{-\frac{\beta}{2}\hat{H}} \cdot \text{Tr}_A[\rho_0 \chi \rho_0] \cdot e^{-\frac{\beta}{2}\hat{H}} \quad \left[(\hat{U}_\beta)^\dagger = \hat{U}_\beta \right]$$

definisco $|\psi_\beta\rangle = e^{-\frac{\beta}{2}\hat{H}} |\psi_0\rangle$

evolutore temporale di un tempo $t = -\frac{\beta}{2}i$ immaginario
 $(e^{-i\hat{H}t} = e^{-\frac{\beta}{2}\hat{H}})$

$$\Rightarrow \rho_\beta = \frac{Z(0)}{Z(\beta)} \text{Tr}_A[|\psi_\beta\rangle\langle\psi_\beta|]$$

segue dal fatto che $e^{-\frac{\beta}{2}\hat{H}}$ agisce solo su S
 si può portare dentro $\text{Tr}_A[\cdot]$

media termica di una data osservabile \hat{O}

$$\begin{aligned} \hookrightarrow \langle \hat{O} \rangle_\beta &= \text{Tr}_S[\rho_\beta \hat{O}] = \frac{Z(0)}{Z(\beta)} \text{Tr}_S[\text{Tr}_A[|\psi_\beta\rangle\langle\psi_\beta|] \hat{O}] = \\ &= \frac{Z(0)}{Z(\beta)} \text{Tr}_{S+A}[|\psi_\beta\rangle\langle\psi_\beta| \hat{O}] = \frac{Z(0)}{Z(\beta)} \langle \psi_\beta | \hat{O}_S \otimes \mathbb{1}_A | \psi_\beta \rangle \end{aligned}$$

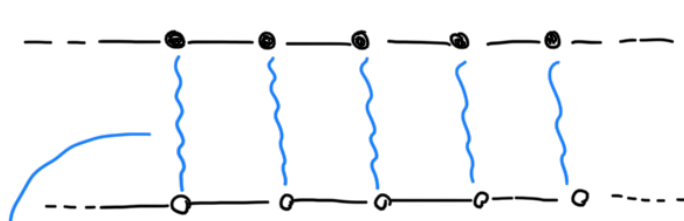
$$1 = \langle \mathbb{1} \rangle_\beta = \text{Tr}_\beta[\rho_\beta] = \frac{Z(0)}{Z(\beta)} \langle \psi_\beta | \psi_\beta \rangle \Rightarrow \frac{1}{\langle \psi_\beta | \psi_\beta \rangle}$$

$$\langle \hat{O} \rangle_\beta = \frac{\langle \psi_\beta | \hat{O}_S \otimes \mathbb{1}_A | \psi_\beta \rangle}{\langle \psi_\beta | \psi_\beta \rangle} \quad \left(\begin{array}{l} \text{da notare che} \\ \| |\psi_\beta\rangle \| \neq 1 \end{array} \right)$$

identica a media su stato puro $|\psi_\beta\rangle$
 che vive nello spazio \mathcal{H}_{S+A}

⊛ Ci serve $|\psi_0\rangle_{S+A}$ t.c. $\text{Tr}_A|\psi_0\rangle\langle\psi_0| = \frac{1}{2^N} \mathbb{1}_S$

$$\rho_0 = \frac{1}{2^N} \mathbb{1} \quad \text{dimensione di } \mathcal{H}_S$$



stato massimamente entangled
 tra due siti

(es. per spin-1/2 → coppie di Bell)

sistema S

↓
 sistema ausiliario A
 (identico a S)

4 stati di Bell massimamente entangled

$$\left\{ |\psi^\pm\rangle = \frac{1}{\sqrt{2}} (|\uparrow, \downarrow\rangle \pm |\downarrow, \uparrow\rangle) \right.$$

2 spin-1/2

unphysical

$$|\phi^\pm\rangle = \frac{1}{\sqrt{2}} (|\uparrow, \uparrow\rangle \pm |\downarrow, \downarrow\rangle)$$

$$\text{Tr}_{\text{spin}} |\phi^\pm\rangle\langle\phi^\pm| = \frac{1}{2} \hat{1}_{\text{spin}} \quad (\forall \text{ stato d. Bell})$$

base computazionale: $\{|\uparrow, \uparrow\rangle, |\uparrow, \downarrow\rangle, |\downarrow, \uparrow\rangle, |\downarrow, \downarrow\rangle\}$
(2 spin-1/2)

$$|\phi^+\rangle = \frac{1}{\sqrt{2}} (|\uparrow, \uparrow\rangle + |\downarrow, \downarrow\rangle) = \begin{pmatrix} 1/\sqrt{2} \\ 0 \\ 0 \\ 1/\sqrt{2} \end{pmatrix}$$

$$|\phi^+\rangle\langle\phi^+| = \begin{pmatrix} 1/\sqrt{2} \\ 0 \\ 0 \\ 1/\sqrt{2} \end{pmatrix} \otimes \begin{pmatrix} 1/\sqrt{2} & 0 & 0 & 1/\sqrt{2} \end{pmatrix} = \begin{pmatrix} 1/2 & 0 & 0 & 1/2 \\ 0 & 0 & 0 & 0 \\ 0 & 0 & 0 & 0 \\ 1/2 & 0 & 0 & 1/2 \end{pmatrix}$$

$$\text{Tr}_{\text{spin}} |\phi^+\rangle\langle\phi^+| = \langle\uparrow| \begin{pmatrix} 1/2 & 0 & 0 & 1/2 \end{pmatrix} |\uparrow\rangle + \langle\downarrow| \begin{pmatrix} 1/2 & 0 & 0 & 1/2 \end{pmatrix} |\downarrow\rangle =$$

$$= \langle\uparrow| \frac{1}{2} (|\uparrow\uparrow\rangle + |\downarrow\downarrow\rangle) (\langle\uparrow\uparrow| + \langle\downarrow\downarrow|) |\uparrow\rangle + \langle\downarrow| \frac{1}{2} (|\uparrow\uparrow\rangle + |\downarrow\downarrow\rangle) (\langle\uparrow\uparrow| + \langle\downarrow\downarrow|) |\downarrow\rangle$$

$$= \frac{1}{2} (|\uparrow\rangle\langle\uparrow|) + \frac{1}{2} (|\downarrow\rangle\langle\downarrow|) = \begin{pmatrix} 1/2 & 0 \\ 0 & 1/2 \end{pmatrix} \equiv \frac{1}{2} \hat{1}_{\text{spin}}$$

stato a temperatura infinita
 $\rho_{\beta=0}(\text{spin})$